

Homogénéisation de la vibration de faisceau de tubes en présence de fluide

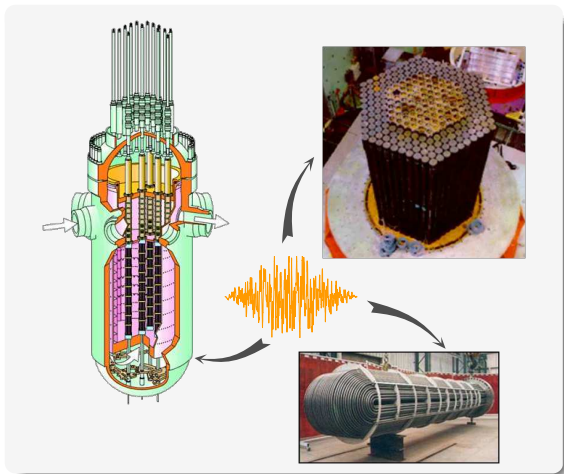
Quentin DESBONNETS

CEA/DEN/DANS/DM2S/SEMT/EMSI

Daniel BROC - Olivier LE MAITRE

quentin.desbonnets@cea.fr

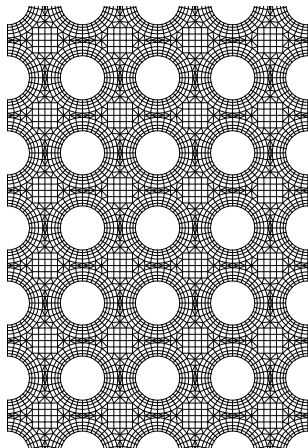
24/11/2011



Réacteur à eau pressurisée

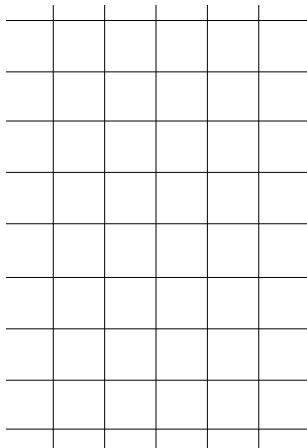
- $\simeq 200$ assemblages combustibles,
- 264 + 25 tubes par assemblages,

- Vibration de faisceau de tubes plongés dans du fluide sous sollicitation externe,
- Focalisation sur les mouvements d'ensembles,
- Géométrie complexe,
- Temps et tailles de calculs importants,
- Développement de modèles homogénéisés.





- **Vibration de faisceau de tubes plongés dans du fluide sous sollicitation externe,**
- **Focalisation sur les mouvements d'ensembles,**
- **Géométrie complexe,**
- **Temps et tailles de calculs importants,**
- **Développement de modèles homogénéisés.**



- **Modèle pré-existant basé sur les équations d'Euler pour le fluide,**
- **Fluide au repos et petit déplacement,**
- **Seul les effets inertiels sont pris en compte,**
- Équations de Navier-Stokes : viscosité et terme d'accélération convective,
- Analyse des forces fluides exercées sur un faisceau de tubes,
- Développement d'un modèle homogénéisé basé sur les équations de Navier-Stokes.

- **Modèle pré-existant basé sur les équations d'Euler pour le fluide,**
- **Fluide au repos et petit déplacement,**
- **Seul les effets inertiels sont pris en compte,**
- **Équations de Navier-Stokes : viscosité et terme d'accélération convective,**
- Analyse des forces fluides exercées sur un faisceau de tubes,
- Développement d'un modèle homogénéisé basé sur les équations de Navier-Stokes.

- Modèle pré-existant basé sur les équations d'Euler pour le fluide,
- Fluide au repos et petit déplacement,
- Seul les effets inertiels sont pris en compte,
- Équations de Navier-Stokes : viscosité et terme d'accélération convective,
- Analyse des forces fluides exercées sur un faisceau de tubes,
- Développement d'un modèle homogénéisé basé sur les équations de Navier-Stokes.



énergie atomique - énergies alternatives

① Introduction

② Analyse des forces fluides exercées sur un faisceau oscillant

③ Construction du modèle homogénéisé basé sur les équations de Navier-Stokes

④ Validations et applications

⑤ Conclusions et perspectives



① Introduction

② Analyse des forces fluides exercées sur un faisceau oscillant

③ Construction du modèle homogénéisé basé sur les équations de Navier-Stokes

④ Validations et applications

⑤ Conclusions et perspectives



① Introduction

② Analyse des forces fluides exercées sur un faisceau oscillant

③ Construction du modèle homogénéisé basé sur les équations de Navier-Stokes

④ Validations et applications

⑤ Conclusions et perspectives



① Introduction

② Analyse des forces fluides exercées sur un faisceau oscillant

③ Construction du modèle homogénéisé basé sur les équations de Navier-Stokes

④ Validations et applications

⑤ Conclusions et perspectives



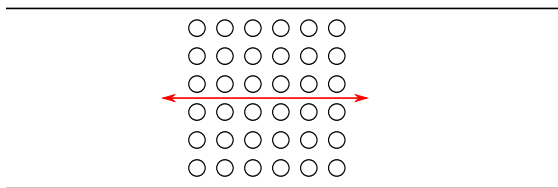
① Introduction

② Analyse des forces fluides exercées sur un faisceau oscillant

③ Construction du modèle homogénéisé basé sur les équations de Navier-Stokes

④ Validations et applications

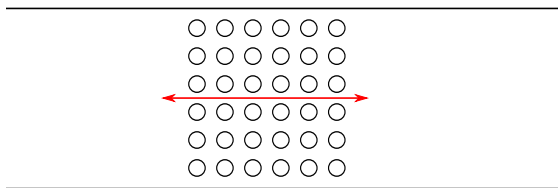
⑤ Conclusions et perspectives



$$\left\{ \begin{array}{ll} \nabla \cdot (v) = 0 & \text{in } \Omega_f \\ \frac{1}{Kc} \frac{\partial v}{\partial t} + v \cdot \nabla v = -\nabla p + \frac{1}{Re} \Delta v & \text{in } \Omega_f \\ v = v_{cyl} = \sin(2\pi t) \cdot \vec{e}_x & \text{on } \Gamma_{1\dots N} \\ v = 0 & \text{on } \Gamma_{g,d} \\ v \cdot \vec{n} = 0 \quad \text{and} \quad \vec{\tau} \cdot \underline{\underline{\sigma}} \cdot \vec{n} = 0 & \text{on } \Gamma_{h,b} \end{array} \right.$$



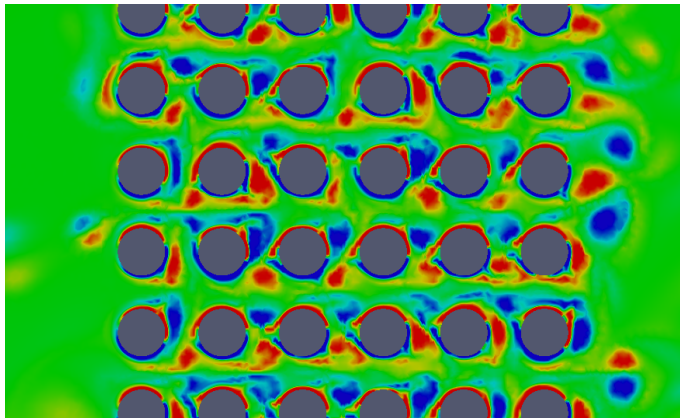
energie atomique - energies alternatives



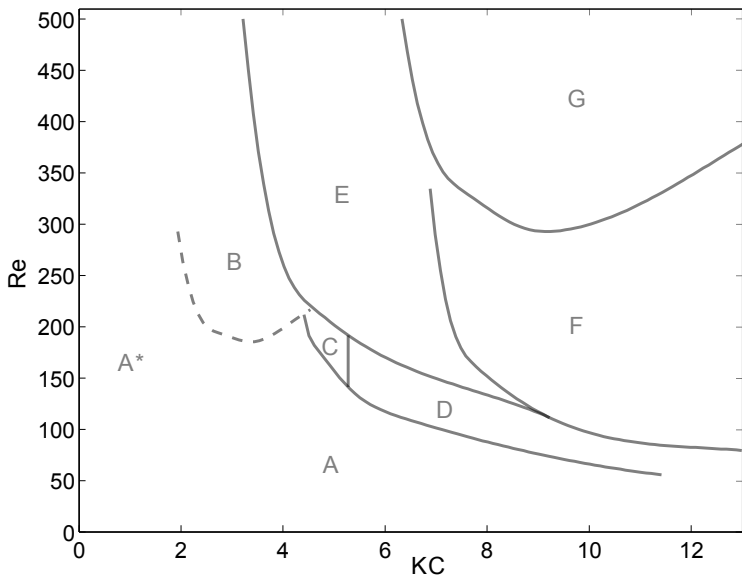
$$Kc = \frac{VT}{d}$$

$$Re = \frac{Vd}{\nu}$$

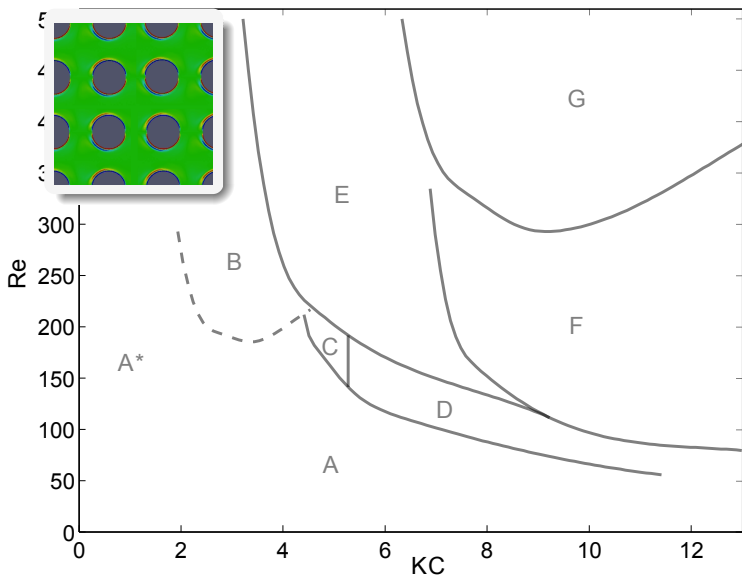
$$\left\{ \begin{array}{ll} \nabla \cdot (v) = 0 & \text{in } \Omega_f \\ \frac{1}{Kc} \frac{\partial v}{\partial t} + v \cdot \nabla v = -\nabla p + \frac{1}{Re} \Delta v & \text{in } \Omega_f \\ v = v_{cyl} = \sin(2\pi t) \cdot \vec{e}_x & \text{on } \Gamma_{1\dots N} \\ v = 0 & \text{on } \Gamma_{g,d} \\ v \cdot \vec{n} = 0 \quad \text{and} \quad \vec{\tau} \cdot \underline{\underline{\sigma}} \cdot \vec{n} = 0 & \text{on } \Gamma_{h,b} \end{array} \right.$$



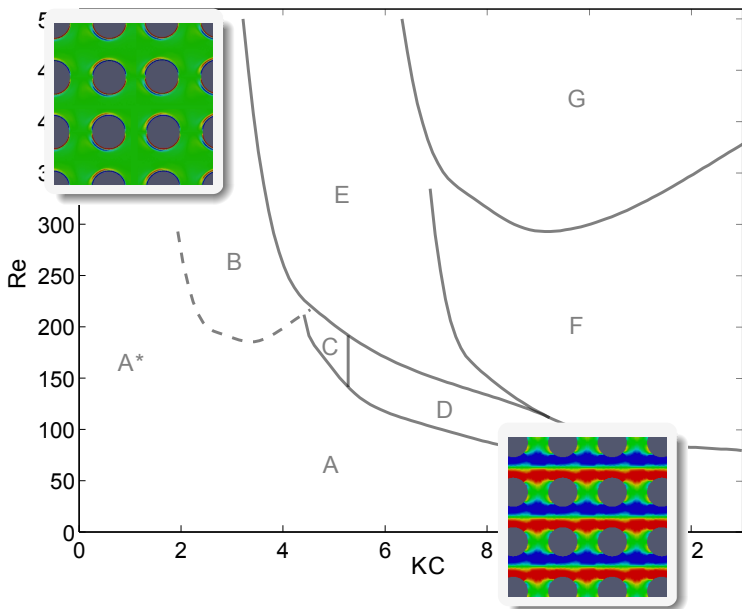
écoulements dépendants de la configuration



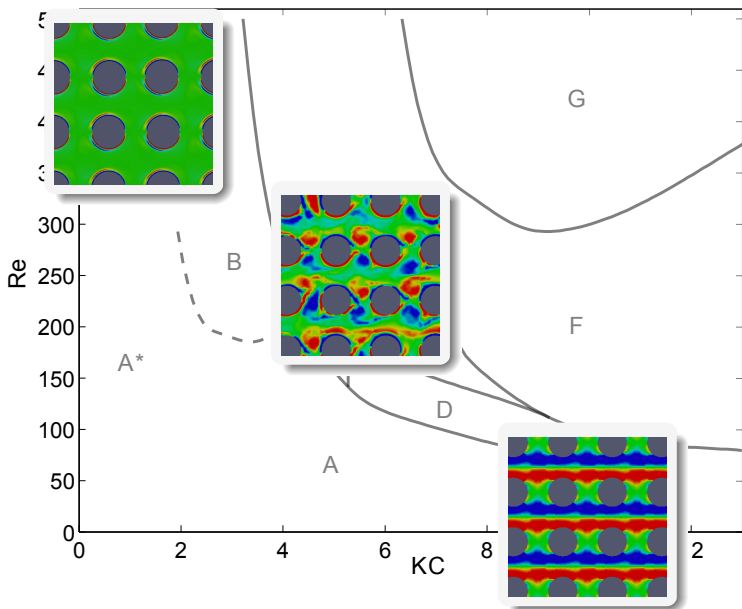
écoulements dépendants de la configuration



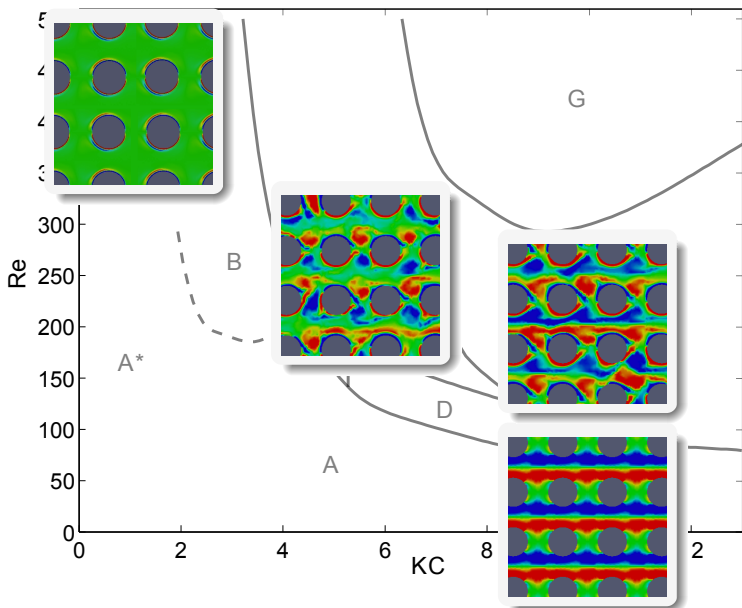
écoulements dépendants de la configuration



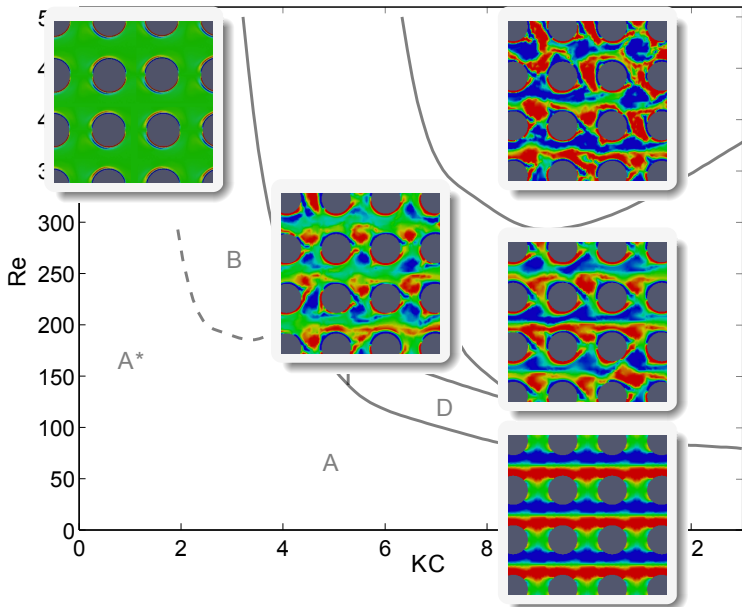
écoulements dépendants de la configuration



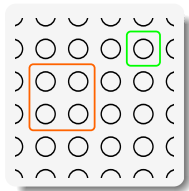
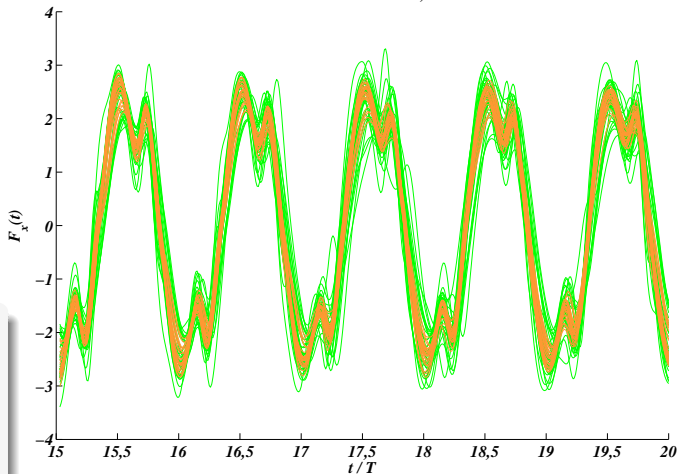
écoulements dépendants de la configuration



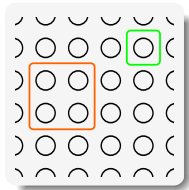
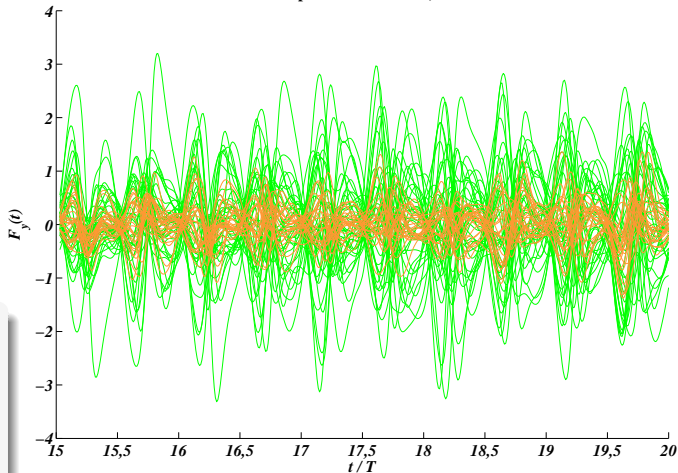
écoulements dépendants de la configuration



Forces de trainée – $Kc = 5$, $Re = 250$

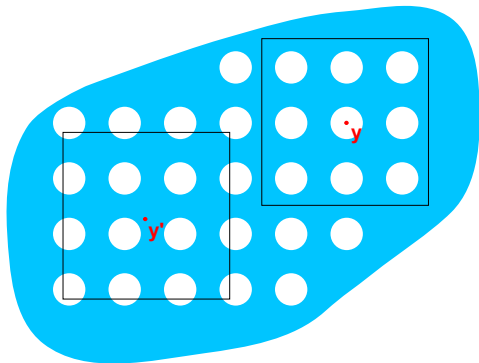


Forces de portances – $Kc = 5$, $Re = 250$



- On définit une vitesse globale sur un volume approprié

$$v_H(\mathbf{y}) = \frac{1}{\Omega} \int_{\Omega_f} v d\Omega + \eta \dot{u}$$



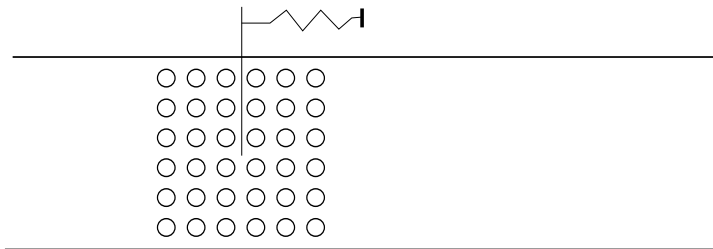
① Introduction

② Analyse des forces fluides exercées sur un faisceau oscillant

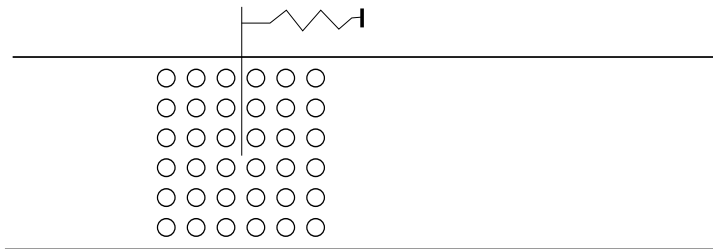
③ Construction du modèle homogénéisé basé sur les équations de Navier-Stokes

④ Validations et applications

⑤ Conclusions et perspectives



$$\left\{ \begin{array}{l} \nabla \cdot \boldsymbol{v} = 0 \\ \frac{1}{Kc} \frac{\partial \boldsymbol{v}}{\partial t} + \nabla \cdot (\boldsymbol{v} \otimes \boldsymbol{v}) = -\nabla p + \frac{1}{Re} \Delta \boldsymbol{v} \\ \ddot{\boldsymbol{u}} + \omega^2 T^2 \boldsymbol{u} = \frac{MKc}{\Omega_s} \boldsymbol{F}_{f \rightarrow s} \end{array} \right.$$



$$\left\{ \begin{array}{l} \nabla \cdot \mathbf{v} = 0 \\ \frac{1}{Kc} \frac{\partial \mathbf{v}}{\partial t} + \nabla \cdot (\mathbf{v} \otimes \mathbf{v}) = -\nabla p + \frac{1}{Re} \Delta \mathbf{v} \\ \ddot{\mathbf{u}} + \omega^2 T^2 \mathbf{u} = \frac{\mathcal{M} Kc}{\Omega_s} \mathbf{F}_{f \rightarrow s} \end{array} \right. \quad \text{où } \mathcal{M} = \frac{\rho \pi d^2}{4m}$$

- intégration de l'équation de quantité de mouvement

$$\frac{1}{\Omega} \int_{\Omega_f} \frac{1}{\mathbf{Kc}} \frac{\partial v}{\partial t} d\Omega + \frac{1}{\Omega} \int_{\Omega_f} (v \cdot \nabla v) d\Omega = - \frac{1}{\Omega} \int_{\Omega_f} \nabla p d\Omega + \frac{1}{\Omega} \int_{\Omega_f} \frac{1}{\mathbf{Re}} \Delta v d\Omega$$

- terme d'accélération

$$\frac{1}{\Omega} \int_{\Omega_f} \frac{1}{\mathbf{Kc}} \frac{\partial v}{\partial t} d\Omega + \frac{1}{\Omega} \int_{\Omega_f} (v \cdot \nabla v) d\Omega = -\frac{1}{\Omega} \int_{\Omega_f} \nabla p d\Omega + \frac{1}{\Omega} \int_{\Omega_f} \frac{1}{\mathbf{Re}} \Delta v d\Omega$$

$$\begin{aligned} \frac{1}{\Omega} \int_{\Omega_f} \frac{1}{\mathbf{Kc}} \frac{\partial v}{\partial t} d\Omega &= \frac{1}{\Omega} \int_{\Omega_f} \frac{1}{\mathbf{Kc}} \frac{\partial v}{\partial t} d\Omega + \frac{\eta}{\mathbf{Kc}} \ddot{u} - \frac{\eta}{\mathbf{Kc}} \ddot{u} \\ &= \frac{dv_H}{dt} - \frac{\eta}{\mathbf{Kc}} \ddot{u} \end{aligned}$$

- terme d'accélération convective

$$\frac{1}{\Omega} \int_{\Omega_f} \frac{1}{Kc} \frac{\partial v}{\partial t} d\Omega + \frac{1}{\Omega} \int_{\Omega_f} (v \cdot \nabla v) d\Omega = -\frac{1}{\Omega} \int_{\Omega_f} \nabla p d\Omega + \frac{1}{\Omega} \int_{\Omega_f} \frac{1}{Re} \Delta v d\Omega$$

$$\int_{\Omega_f} \nabla \cdot (v \otimes v) = \int_{\Gamma_f} v(v \cdot \vec{n}) d\Gamma = \Omega v_H \cdot \nabla v_H + \nabla \cdot \tau$$

$$\nabla \cdot \tau = \left(\int_{\Gamma_f} v(v \cdot \vec{n}) d\Gamma - \Omega v_H \cdot \nabla v_H \right)$$

- terme de viscosité

$$\frac{1}{\Omega} \int_{\Omega_f} \frac{1}{\text{Ke}} \frac{\partial v}{\partial t} d\Omega + \frac{1}{\Omega} \int_{\Omega_f} (v \cdot \nabla v) d\Omega = - \frac{1}{\Omega} \int_{\Omega_f} \nabla p d\Omega + \frac{1}{\Omega} \int_{\Omega_f} \frac{1}{\text{Re}} \Delta v d\Omega$$

$$\begin{aligned} \frac{1}{\Omega} \int_{\Omega_f} \Delta v d\Omega &= \frac{1}{\Omega} \int_{\Omega} \Delta v d\Omega + \frac{1}{\Omega} \int_{\Gamma_f^{int}} (\nabla v + {}^t\nabla v) \cdot \vec{n} d\Omega \\ &= \Delta v_H + \frac{1}{\Omega} \int_{\Gamma_f^{int}} (\nabla v + {}^t\nabla v) \cdot \vec{n} d\Omega \end{aligned}$$



- terme de pression

$$\frac{1}{\Omega} \int_{\Omega_f} \frac{1}{Kc} \frac{\partial v}{\partial t} d\Omega + \frac{1}{\Omega} \int_{\Omega_f} (v \cdot \nabla v) d\Omega = -\frac{1}{\Omega} \int_{\Omega_f} \nabla p d\Omega + \frac{1}{\Omega} \int_{\Omega_f} \frac{1}{Re} \Delta v d\Omega$$

$$\frac{1}{\Omega} \int_{\Omega_f} \nabla p d\Omega = \frac{1}{\Omega} \int_{\Gamma_f^{ext}} p \cdot \vec{n} d\Gamma + \frac{1}{\Omega} \int_{\Gamma_f^{int}} p \cdot \vec{n} d\Gamma$$



- Équation de quantité de mouvement intégrée

$$\frac{1}{Kc} \frac{dv_H}{dt} + \nabla \cdot (v_H \otimes v_H) = - \frac{1}{\Omega} \int_{\Gamma_f^{ext}} p d\Gamma + dF_{f \rightarrow s} \\ + \frac{1}{Re} \Delta v_H + \frac{\eta}{Kc} \ddot{u} - \frac{1}{\Omega} \nabla \cdot \tau$$

- Équation de quantité de mouvement intégrée

$$\frac{1}{Kc} \frac{dv_H}{dt} + \nabla \cdot (v_H \otimes v_H) = -\frac{1}{\Omega} \int_{\Gamma_f^{ext}} p d\Gamma + dF_{f \rightarrow s} + \frac{1}{Re} \Delta v_H + \frac{\eta}{Kc} \ddot{u} - \frac{1}{\Omega} \nabla \cdot \tau$$

- lorsque le domaine d'intégration coupe les tubes le terme de pression ne peut s'exprimer comme un gradient de pression,
- le terme $\nabla \cdot \tau$ est exprimé en fonction des variables de petite échelle.

- On introduit un système fluide défini en variable (v^*, p^*) couplé au système structure par une densité de force $f(x, t)$ dépendant de $\frac{dv^*}{dt}, v^*, \ddot{u}$ et \dot{u} .

$$\left\{ \begin{array}{l} \nabla \cdot v^* = 0 \\ \frac{1}{Kc} \frac{\partial v^*}{\partial t} + \nabla \cdot (v^* \otimes v^*) = -\nabla p^* + f_{s \rightarrow f} + \frac{1}{Re} \Delta v^* + \frac{\eta}{Kc} \ddot{u} \\ \ddot{u} + \omega^2 T^2 u = \frac{\mathcal{M}Kc}{\Omega_s} F_{f \rightarrow s} = \frac{\mathcal{M}Kc}{\eta} f_{f \rightarrow s} \end{array} \right.$$

- On introduit un système fluide défini en variable (v^*, p^*) couplé au système structure par une densité de force $f(x, t)$ dépendant de $\frac{dv^*}{dt}, v^*, \ddot{u}$ et \dot{u} .

$$\left\{ \begin{array}{l} \nabla \cdot v^* = 0 \\ \frac{1}{Kc} \frac{\partial v^*}{\partial t} + \nabla \cdot (v^* \otimes v^*) = -\nabla p^* + f_{s \rightarrow f} + \frac{1}{Re} \Delta v^* + \frac{\eta}{Kc} \ddot{u} \\ \ddot{u} + \omega^2 T^2 u = \frac{\mathcal{M}Kc}{\Omega_s} F_{f \rightarrow s} = \frac{\mathcal{M}Kc}{\eta} f_{f \rightarrow s} \end{array} \right.$$

$$\text{avec } f_{f \rightarrow s} = -\frac{c_m \eta}{Kc} \ddot{u} + \frac{(c_m + 1)\eta}{Kc} \frac{\partial v^*}{\partial t} - \frac{c_d}{2\Omega} (\dot{u} - v^*)$$



1 Introduction

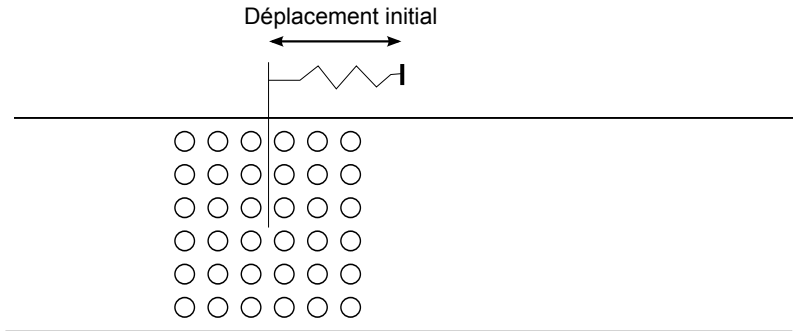
2 Analyse des forces fluides exercées sur un faisceau oscillant

3 Construction du modèle homogénéisé basé sur les équations de Navier-Stokes

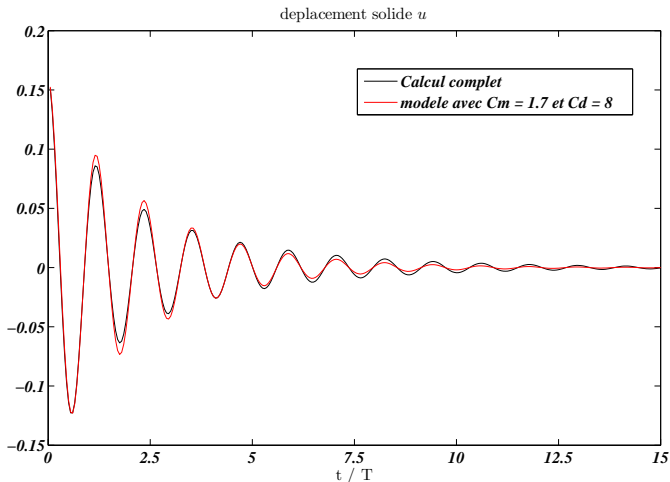
4 **Validations et applications**

5 Conclusions et perspectives

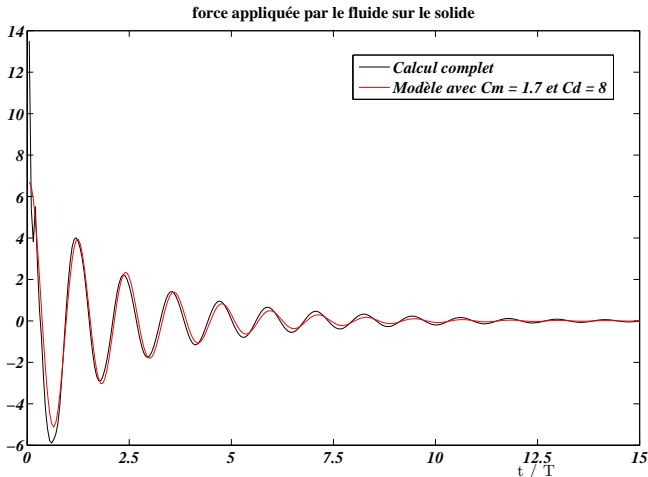
- Essai de lâcher d'un faisceau confiné



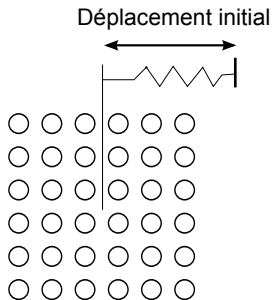
- Essai de lâcher confiné, déplacement initial de $\frac{1}{2\pi}$



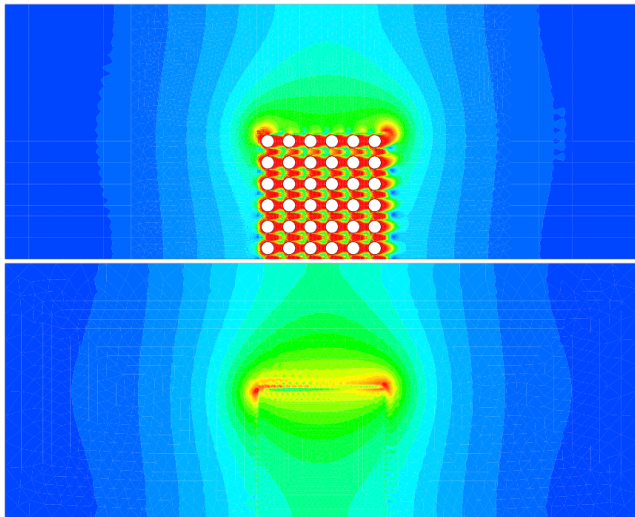
- Essai de lâcher confiné, déplacement initial de $\frac{1}{2\pi}$



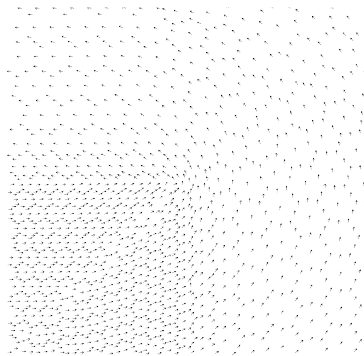
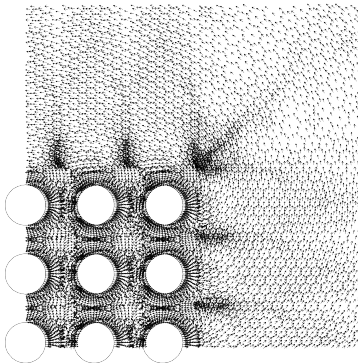
- Essai de lâcher d'un faisceau avec bord libre



- Essai de lâcher semi-confiné, déplacement initial de $\frac{1}{2\pi}$



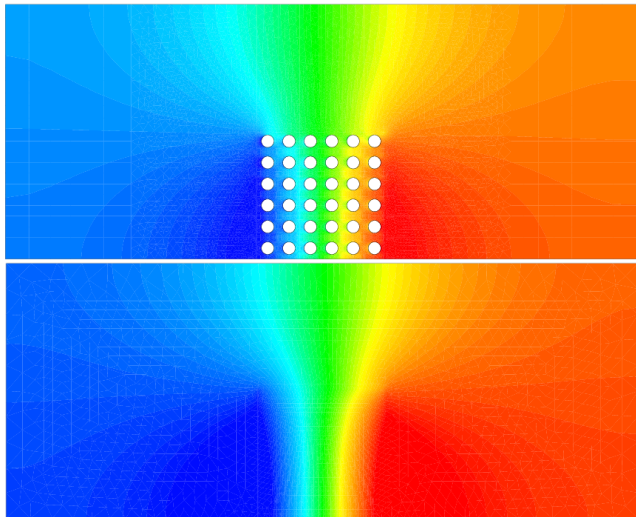
- Essai de lâcher semi-confiné, déplacement initial de $\frac{1}{2\pi}$



- Essai de lâcher semi-confiné, déplacement initial de $\frac{1}{2\pi}$



énergie atomique - énergies alternatives





- **Analyse des forces fluides exercées sur un faisceau 6x6 oscillant dans du fluide pour différentes configurations de Kc et Re ,**
- Identification des mécanismes permettant d'homogénéiser,
- Proposition d'un modèle homogénéisé,
- Début de validation (lâcher à faible déplacement initial, en confiné et semi-confiné),



- Analyse des forces fluides exercées sur un faisceau 6x6 oscillant dans du fluide pour différentes configurations de Kc et Re ,
- Identification des mécanismes permettant d'homogénéiser,
 - Proposition d'un modèle homogénéisé,
 - Début de validation (lâcher à faible déplacement initial, en confiné et semi-confiné),



- Analyse des forces fluides exercées sur un faisceau 6x6 oscillant dans du fluide pour différentes configurations de Kc et Re ,
- Identification des mécanismes permettant d'homogénéiser,
- Proposition d'un modèle homogénéisé,
- Début de validation (lâcher à faible déplacement initial, en confiné et semi-confiné),



- Analyse des forces fluides exercées sur un faisceau 6x6 oscillant dans du fluide pour différentes configurations de Kc et Re ,
- Identification des mécanismes permettant d'homogénéiser,
- Proposition d'un modèle homogénéisé,
- Début de validation (lâcher à faible déplacement initial, en confiné et semi-confiné),



- Analyse des forces fluides exercées sur un faisceau 6x6 oscillant dans du fluide pour différentes configurations de Kc et Re ,
 - Identification des mécanismes permettant d'homogénéiser,
 - Proposition d'un modèle homogénéisé,
 - Début de validation (lâcher à faible déplacement initial, en confiné et semi-confiné),
-
- Validation du modèle pour d'autres configurations (lâcher à déplacement initial important, sollicitation externe du faisceau).



énergie atomique • énergies alternatives

Merci de votre attention